

ИССЛЕДОВАНИЕ ВРЕМЕННОЙ ЗАВИСИМОСТИ ДАВЛЕНИЯ ИНИЦИРОВАНИЯ ТНТ И ТГ 50/50 НЕСТАЦИОНАРНЫМИ УДАРНЫМИ ВОЛНАМИ

A. П. Погорелов, С. А. Новиков

(Москва)

В экспериментальных исследованиях процесса возбуждения детонации в твердых взрывчатых веществах ударными волнами показана сильная зависимость критического давления на фронте ударной волны p_{Φ}^* , при котором происходит инициирование, от длительности действия импульса t_0 ($t_0 \approx 2$ мкс) [1–4]. Так, при $t_0 = 0,05$ мкс для состава ТГ 50/50 $p_{\Phi}^* = 10$ ГПа почти на порядок превышает $p_{\Phi}^* = 1,3$ ГПа при $t_0 = 1,5$ мкс [3].

В работе [4] показано, что при инициировании ВВ нестационарными ударными волнами (УВ) существует достаточно широкий диапазон давлений на фронте ударной волны p_{Φ} , при котором по образцу от поверхности удара распространяется нестационарная система — УВ и следующая за ней область взрывчатого превращения. Интервал времени от момента удара до возникновения нормальной детонации может достигать нескольких микросекунд и зависит от параметров УВ: амплитуды давления p_{Φ} , длительности действия t_0 и крутизны спада давления за фронтом ударной волны. Результаты численного и экспериментального исследования инициирования ТНТ ударными волнами прямоугольного профиля изложены в [5].

В настоящей работе приведены результаты исследования диапазона давлений, в котором происходит переход взрывчатого превращения в нормальную детонацию в составе ТГ 50/50, и зависимость $p_{\Phi}(t_0)$ в интервале $t_0 = 0,01 \div 3,3$ мкс для ТГ 50/50 и ТНТ. Образцы из ТГ 50/50 литые, из ТНТ прессованные.

УВ в образцах ВВ создавали ударом металлических пластин толщиной 0,02–10 мм, разгон которых осуществлялся скользящей детонацией слоя ВВ. Скорость соударения рассчитывали по формуле Гарни. Давление на фронте УВ определяли по линейным $D - u$ -соотношениям: $D = 2,71 + 1,86u$ для состава ТГ 50/50 с $\rho_0 = 1,67 \cdot 10^3$ кг/м³, $D = 2,39 + 2,05u$ для ТНТ с $\rho_0 = 1,57 \cdot 10^3$ кг/м³ [6].

Диапазон давлений p_{Φ} , в котором по образцу распространяется нестационарная система — УВ и следующая за ней область взрывчатого превращения, оценивали в экспериментах на баллистическом маятнике. Образцы из состава ТГ 50/50 размером $75 \times 75 \times 6$ мм прикрепляли через пенопластовую прокладку к маятнику гранью 75×75 мм. Взрывчатое превращение в образцах возбуждали ударом стальной (толщина 0,6 мм, $t_0 = 0,2$ мкс) и медной (толщина 0,28 мм, $t_0 = 0,14$ мкс) пластины. В экспериментах измеряли импульс, сообщаемый маятнику. Результаты приведены на рис. 1 в виде зависимостей относительного импульса $I = I/I_0$ от давления p_{Φ} . Здесь $I = I_1 - I_2$ — импульс, сообщаемый маятнику при взрывчатом превращении в образце; I_0 — импульс, сообщаемый маятнику при нормальной детонации образца (инициирование от капсюля); I_1 — суммарный импульс, сообщенный маятнику при торможении пластины-ударника (I_2) за счет химической реакции в образце из ВВ (7). Зависимость $I_2(p_{\Phi})$ получена в аналогичных экспериментах (но без образцов из ВВ).

Несмотря на некоторое отличие в значениях импульса, сообщаемого маятнику при нормальной и скользящей детонации образца из ВВ, а также возможность некоторого увеличения импульса за счет отброса ударника продуктами химической реакции образца, величина $\bar{I} = I/I_0$ позволяет качественно характеризовать долю образца, претерпевшую разложение, относительно опыта при инициировании капсюлем. Это объяс-

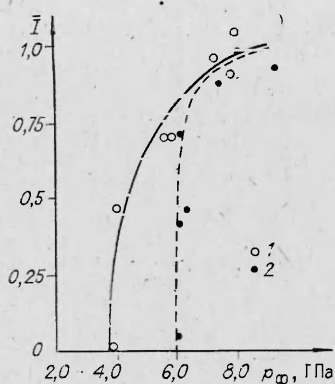


Рис. 1. Зависимость относительного импульса при взрывчатом превращении образца из ТГ 50/50 от давления на фронте ударной волны.
1 — $t_0 = 0,2$ мкс; 2 — $t_0 = 0,14$ мкс.

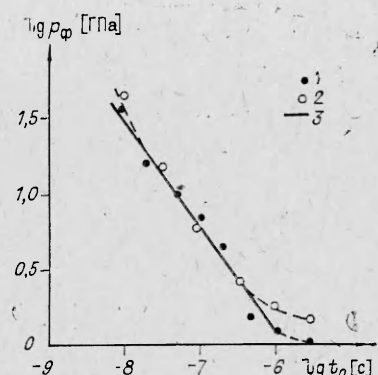


Рис. 2. Зависимость давления инициирования от времени действия импульса.
1 — ТГ 50/50; 2 — ТНТ; 3 — $p_\phi^{*1.4} = \text{const.}$

няется тем, что значение I также зависит от толщины образца — приросте толщины \bar{I} будет увеличиваться.

Из полученных зависимостей следует, что диапазон давлений на фронте ударной волны, в котором заметно ослабление величины импульса, сообщаемого маятнику, из-за процесса нестационарного взрывчатого превращения зависит от длительности импульса и составляет ~ 5 и 3 ГПа для $t_0 = 0,2$ и 0,14 мкс.

При $p \geq 9$ ГПа переход в нормальную детонацию происходит настолько быстро, что величины импульса, передаваемого маятнику при возбуждении детонации в образце от капсуля и ударом металлической пластины, фактически не различаются. При исследовании зависимости $p_\phi^*(t_0)$ для составов ТГ 50/50 и ТНТ опыты с тонкими ударниками (толщиной менее 0,5 мм) проводили в вакуумной камере. Чтобы охватить весь диапазон изменения величин p_ϕ и t_0 , результаты экспериментов представлены на рис. 2 в логарифмических координатах. Правее и выше прямой $\lg p_\phi(t_0)$ лежат состояния, где происходит возбуждение взрывчатого превращения или детонации, а левее и ниже — состояния, где химической реакции в ВВ не наблюдается. Из приведенных зависимостей видно, что в диапазоне $10^{-8} < t_0 < 10^{-6}$ с для ТГ 50/50 и $2 \cdot 10^{-8} < t_0 < 5 \cdot 10^{-7}$ с для ТНТ зависимость $p_\phi^*(t_0)$ достаточно хорошо описывается величиной $p_\phi^{*1.4} t_0 = \text{const.}$ Ранее в [3] указывалось, что соотношения $p_\phi u_\phi t_0 = a$ и $p_\phi^2 t_0 = b$ удовлетворительно описывают совокупность экспериментальных данных. При расширении диапазона t_0 стало заметно, что $p_\phi^{*1.4} t_0 = \text{const}$ описывает имеющиеся экспериментальные данные лучше, чем критерий $p_\phi^2 t_0 = \text{const.}$ Так, например, для ТГ 50/50 при $t_0 = 10^{-8} - 10^{-6}$ с величина $p_\phi^2 t_0$ изменяется почти в 8 раз, а $p_\phi^{*1.4} t_0$ — не более чем в 1,5 раза.

При $t_0 = 0,01$ мкс получено $p_\phi^* = 37$ и 45 ГПа для ТГ 50/50 и ТНТ. По существующей теории детонации на фронте детонационной волны происходит ударное сжатие ВВ с последующим выделением энергии в химической реакции. За зоной химической реакции с давлением $p > p_{\text{ж}}$ идет область нестационарного течения продуктов реакции с давлением $p < p_{\text{ж}}$. Используя полученную зависимость $p_\phi^*(t_0)$, можно оценить время химической реакции в детонационной волне t_p . Если предположить, что действие на ВВ ударной волны с амплитудой $p_\phi = p_{\text{ж}}$ аналогично действию детонационной волны на ВВ, тогда величина t_p на рис. 2 должна соответствовать длительности химической реакции: $t_p \approx 0,04$ мкс для ТНТ и $t_p \approx 0,02$ мкс для состава ТГ 50/50 ($p_{\text{ж}} = 17,65$ и 24,8 ГПа

для ТНТ и ТГ 50/50 [7]). Найденные величины t_p согласуются с известными значениями в детонационной волне 0,039 мкс для ТНТ плотностью $\rho_0 = 1,59 \cdot 10^3$ кг/м³ и 0,024 мкс для состава ТГ 36/64 + 1% воска с $\rho_0 = 1,67 \cdot 10^3$ кг/м³, полученными методом откола [8, 9], но примерно на порядок меньше значений t_p , полученных электромагнитным методом [7].

*Поступила в редакцию 8/IX 1983,
после доработки — 18/IX 1984*

ЛИТЕРАТУРА

1. Y. de Longueville, C. Fauquignon, H. Moulard. VI-th Symp. (Intern.) on Detonation, California, 1976.
2. А. П. Погорелов, Б. Л. Глушак, С. А. Новиков и др. ФГВ, 1977, 13, 2, 294.
3. Б. Л. Глушак, С. А. Новиков, А. П. Погорелов и др. ФГВ, 1981, 17, 6, 90.
4. Ю. В. Батьков, С. А. Новиков и др. ФГВ, 1979, 15, 5, 139.
5. В. Ф. Лобанов, С. М. Карабаханов, С. А. Бордзиловский. ФГВ, 1982, 18, 3, 90.
6. N. L. Coleburn, T. P. Liddiard. J. Chem. Phys., 1966, 44, 1929.
7. А. Н. Дремин, С. Д. Савров, В. С. Трофимов и др. Детонационные волны в конденсированных средах. М.: Наука, 1970.
8. R. E. Duff, E. Houston. J. Chem. Phys., 1955, 23, 1268.
9. W. E. Deal. J. Chem. Phys., 1957, 27, 796.

РАСЧЕТ СОСТАВА СМЕСИ В ПОГРАНИЧНОМ СЛОЕ ПРИ ДЕТОНАЦИИ ДВУХФАЗНЫХ СИСТЕМ С ПРЕДВАРИТЕЛЬНО НЕ ПЕРЕМЕШАННЫМИ ФАЗАМИ

*И. Н. Зверев, М. И. Рамоданов, Т. В. Рамоданова
(Москва)*

При эксплуатации кислородного оборудования и штолен в некоторых случаях возможно возникновение взрывов, когда все сечение трубы или штольни заполняет окислитель без примеси горючих газов (воздух, воздух, обогащенный кислородом, кислород), а топливо в виде тонкого слоя находится на стенках [4, 2].

Как показали теоретические исследования [3—6], возможен такой режим детонации, когда процессы, происходящие в пограничном слое, обеспечивают ее стационарное распространение. Исследование процесса смесеобразования внутри пограничного слоя, знание распределения параметров пограничного слоя позволит найти скорость детонации. В данной работе определяется параметр массообмена, напряжение трения на стенке, состав смеси внутри пограничного слоя, развивающегося за ударной волной на поверхности испаряющегося топлива.

Пусть ударная волна распространяется с постоянной скоростью по газообразному кислороду над слоем неподвижного жидкого топлива. В системе координат, связанной с ударной волной, процессы, происходящие за фронтом ударной волны, будут стационарными. Предполагаем, что скорость ударной волны большая, а за ней начинается интенсивное испарение топлива в пограничный слой и горение образующейся смеси.

Для исследования процесса смесеобразования рассмотрим тепло- и массообмен на испаряющейся поверхности топлива с учетом горения над ней. Для поверхности раздела газ — жидкость в общем виде можно записать уравнения неразрывности, импульса и энергии [7]

$$(\rho v)_w \mathbf{n} = (\tilde{\rho} \tilde{v})_w \mathbf{n}, \quad (1)$$

$$P \mathbf{n} + (\rho v)(v_w \mathbf{n}) = \tilde{P} \mathbf{n} + (\tilde{\rho} \tilde{v})_w (\tilde{v}_w \mathbf{n}), \quad (2)$$

$$\begin{aligned} \rho_w \left[\left(h_w + \frac{|v|^2}{2} \right) v_w + \sum (h_i c_i v_i)_w \right] - (\lambda \nabla T)_w \mathbf{n} = \\ = \tilde{\rho}_w \left(\tilde{h}_w + \frac{|\tilde{v}|^2}{2} \right) \tilde{v}_w - (\tilde{\lambda} \nabla \tilde{T})_w \mathbf{n}. \end{aligned} \quad (3)$$